

بررسی ویژگی‌های ژئوتکنیکی خاک رس بنتونیتی آلوده به گازوئیل

سید محمدعلی زمربدیان* (دانشیار)
دانشکده هندسه آب، دانشگاه شیراز

وحیدرضا رحیمی حقیقی (کارشناس ارشد)

دانشکده مهندسی عمران، دانشگاه آزاد اسلامی، واحد اصفهان

مهندسی عمران شرف، (پاییز ۹۶-۱۳۹۵)
دوری ۲ - ۳، شماره ۱ / ۳ ص. ۷۷-۸۶

تمیز کردن خاک‌های آلوده به مشتقات نفتی هزینه‌بر است و یک راه هوشمندانه برای حل مشکل مذکور استفاده از خاک‌های آلوده در پرورهای عمرانی است. آلودگی، ویژگی تحقیمی خاک را تغییر می‌دهد و باعث افزایش نشتی کل و نشتی غیریکسان سازه‌ی مستقر بر آن می‌شود. در نوشتار حاضر، به بررسی ویژگی‌های ژئوتکنیکی خاک آلوده به گازوئیل پرداخته و برای هدف مذکور، خاک رس بنتونیتی با ۱۲، ۸، ۴ و ۱۶ درصد وزن خشک‌شان به صورت مصنوعی با گازوئیل ترکیب شده است. نتایج حاصل، نشان‌دهنده‌ی افزایش حد روانی به میزان ۱۱٪ و کاهش ۵٪ و ۴۰ درصدی بیشینه‌ی وزن مخصوص خشک و درصد رطوبت بهینه بوده و بیز مقاومت فشاری و چسبندگی با افزایش آلودگی بیش از ۶۰٪ کاهش یافته است. همچنین با افزایش آلودگی تا میزان ۴٪، شاخص مذکور کاهش و افزایش یافته است؛ اما با افزایش میزان آلودگی تا میزان ۱۲٪، شاخص مذکور کاهش و سپس با افزایش میزان آلودگی تا میزان ۱۶٪، مجدد شاخص فشردگی افزایش یافته است.

mzomorod@shirazu.ac.ir
vahid_6193@yahoo.com

واژگان کلیدی: رس بنتونیتی، ضریب فشردگی پذیری، خاک آلوده، تحقیم.

۱. مقدمه

و تراکم‌پذیری آن را تا حد زیادی افزایش می‌دهد.^[۱] در مطالعاتی در سال ۱۹۹۴ و تراکم‌پذیری آن را تا حد زیادی افزایش می‌دهد.^[۱] در مطالعاتی در سال ۱۹۹۴ نتایج مشابهی به ترتیب برای ماسه و خاک رس به دست آمده است.^[۲] علاوه بر این، ویژگی‌های ژئوتکنیکی ماسه‌های آلوده به نفت در کویت (۱۹۹۵) بررسی شده است، که مجدداً نتایج نشان‌دهنده‌ی کاهش اندک مقاومت و نفوذپذیری و افزایش تراکم‌پذیری ماسه‌ها بوده است.^[۳] در سال ۱۹۹۷، افزایش مقاومت و استحکام ماسه‌های آلوده به نفت کویت با گذشت زمان و کاهش میزان نفت گزارش شده است.^[۴] در بررسی ژئوتکنیکی ماسه و خاک رس آلوده به نفت (۲۰۰۷)، کاهش مقاومت، نفوذپذیری، بیشینه‌ی چگالی خشک، درصد رطوبت و حدود اتربرگ خاک‌های مذکور گزارش شده است.^[۵] در سال ۲۰۰۸، نیز افزایش ۳۵ الی ۵۰ درصدی در نشتی تراکمی خاک‌های نرم آلوده به هیدروکربن‌های نفتی مشاهده شده^[۶] و همچنین یک عامل اصلاحی به رابطه اسکمپتون و جونز (۱۹۴۴) اضافه شده است تا با استفاده از حد روانی، شاخص فشردگی محاسبه شود.^[۷] سپس مدل مذکور (۲۰۱۱) توسعه داده شده و با استفاده از آن، شاخص فشردگی خاک کاولین آشته به اتاون-بنزین پیش‌بینی شده است.^[۸] در سال ۲۰۱۲ نیز افزایش زاویه‌ی اصطکاک، بیشینه‌ی چگالی خشک، شاخص تراکمی و حدود اتربرگ و همچنین کاهش درصد رطوبت و چسبندگی خاک‌های نرم در صورت وجود نفت گزارش شده است.^[۹] همچنین در سال ۲۰۱۳ به بررسی خصوصیات ژئوتکنیکی کاولینیت آلوده به گازوئیل،^[۱۰] و رفتار شمع‌های موجود در ماسه‌های آشته به نفت،^[۱۱] پرداخته شده است.

بررسی‌های اخیر نشان می‌دهد که بین نتایج مطالعات انجام شده بر روی

نشست مشتقات نفتی باعث آلودگی خاک و تغییرات ویژگی‌های فیزیکی و مکانیکی آن می‌شود. این اتفاق ممکن است از مخازن قدیمی و فرسوده، خطوط انتقال، سیستم‌های حمل و نقل زمینی، دریابی با ریلی، آتش‌سوزی چاه‌ها در اثر سهل‌انگاری یا جنگ، و یا حوادث تروریستی رخ دهد. میزان آلودگی به مقدار نفت و ویژگی‌های خاک بستگی دارد. این نوع آلودگی نه فقط پیامدهای فوری و آسیب‌هایی در آینده به خاک وارد می‌سازد، بلکه ویژگی‌های فیزیکی و مکانیکی خاک را تغییر می‌دهد. برای تمیز کردن خاک‌های آلوده، روش‌های بیولوژیکی و شستشوی خاک استفاده جداسازی با استفاده از سانتریفیوژ، روش‌های بیولوژیکی و شستشوی خاک استفاده می‌شود. ولی عملاً به کارگیری آنها به دلیل وسعت مناطق آلوده و پرهزینه بودن آنها محدود است. یک راه هوشمندانه استفاده از خاک‌های آلوده ذکر شده در پژوهه‌های عمرانی مانند: سدسازی، راهسازی، و خاک‌ریزی است. بنابراین ضروری است که علاوه بر مسائل ریست‌محیطی و دیگر تأثیرات مواد آلوده‌کننده‌ی مذکور در مورد تغییر ویژگی‌های ژئوتکنیکی خاک‌های آلوده، مطالعات و پژوهش‌هایی انجام شود.

در سال ۱۹۹۲، در محیط آزمایشگاه به بررسی ویژگی‌های تراکمی و مقاومت ماسه‌های آلوده به نفت پرداخته شده و این نتیجه به دست آمده است که اگرچه آلودگی نفتی، تأثیر چندانی در تراکم ماسه‌های آلوده ندارد، ولی زاویه‌ی اصطکاک را کاهش

* نویسنده مسئول

تاریخ: دریافت ۱۰/۴/۱۳۹۴، اصلاحیه ۱۰/۲۷، پذیرش ۱۱/۱۱/۱۳۹۴.

جدول ۲. مشخصات گازوئیل پالایشگاه شیراز (سایت پالایشگاه).

Recovered@150 °C	T.B.R	%Vol
Recovered@300 °C	T.B.R	%Vol
Recovered@357 °C	۹۰	%Vol
F.B.P (max)	۳۸۵	°C
Density@150 °C	۰,۸۲۰-۰,۸۶۰	kg/L
Color (max)	۳	-
Flash point (min)	۵۴	°C
Sulphur Total (max)	۱	%Mass
Viscosity kinematic @ ۲۷,۸ °C	۲,۰-۵,۵	mm²/s
Cloud point (max)	۱,۵	°C
Pour point (max)	-۴	°C
Carbon residue (max)	۰,۱	%Mass
Ash (max)	۰,۰۱	%Mass
Water & sediment	۰,۰۵	%VOL
Cetan index (min)	۵۰	-

تراکم بین ۱۵ تا ۴۰ درصد و جهت انجام آزمایش حدود اتربرگ بین ۹۰ تا ۱۵۰ درصد آب اضافه شده و دستکم پس از گذشت یک روز از ترکیب با آب (جهت یک دست شدن نمونه ها و نفوذ کامل آب) آزمایش بر روی نمونه ها انجام شده است. به منظور تهیه نمونه از آزمایش تراکم تحکیم و تک محوری، پس از آنکه نمونه ها به مدت یک هفته مانند آزمایش تراکم عمل اوری شدند، با توجه به رطوبت بهینه بوده است آمده از آزمایش تراکم برای درصد های مختلف آلدگی، به هر نمونه به همان میزان آب اضافه و پس از گذشت دست کم یک روز اقدام به ساخت نمونه تی تحکیم در تراکم نسبی ۶۰٪ شده است.

۴. نتایج آزمایشگاهی
۱.۴. حدود اتربرگ (ASTM D۴۳۱۸)

حد روانی و حد خمیری خاک های مورد استفاده در پژوهش حاضر براساس استاندارد ASTM D۴۳۱۸ تعیین شده است. نتایج آزمایش های حد روانی و حد خمیری در شکل ۲ ارائه شده است. از آنجا که حد روانی بدست آمده، بالای ۱۰۰٪ است، می توان دریافت که خاک خاصیت خمیری بسیار بالای دارد. اضافه کردن گازوئیل به میزان ۴٪ باعث افزایش حد روانی می شود، اما افزایش بیشتر گازوئیل تا ۱۲٪ باعث کاهش حد روانی و در آلدگی ۱۶٪ مجددآ حد روانی افزایش یافته است. در همین حال ملاحظه می شود که تغییر درصد آلدگی تأثیر چندانی در حد خمیری ندارد. با استفاده از تئوری لایه ای دوگانه می توان افزایش و سپس کاهش حد روانی را توضیح داد، بر عکس مولکول های آب، مولکول های گازوئیل قطبی نبوده اند و قادر به تشکیل لایه ای دوگانه با خاک نیستند. بنابراین لایه ای دوگانه نمی تواند تشکیل شود و درصد رطوبت در ابتدا افزایش می یابد، اما در ادامه با توجه به خاصیت روان کنندگی گازوئیل درصد رطوبت کاهش و در انتهای به دلیل میزان زیاد گازوئیل و کشش سطحی موجود در آن مجددآ درصد رطوبت افزایش می یابد. یافته های موجود با یافته های خامه چیان و همکاران (۲۰۰۷) مغایرت داشته است، زیرا در پژوهش مذکور این نتیجه به دست آمده است که با افزایش آلدگی، حد روانی و حد

ویزگی های ژوتکنیکی خاک های نرم آغازته به مشتقات نفتی به علم استفاده از خاک های موجود در طبیعت که شامل درصد های متفاوتی از کانی های رسی مانند مونتوریونیت، کائولینیت و ... می شود و نه یک کانی خاص هم خوانی وجود ندارد. لذا در پژوهش حاضر از رس بتونیتی که در مهندسی عمران کاربردهای فراوانی از جمله: پوشش مخازن ذخیره های فاضلاب، بالات های آب های صنعتی، جاسازی زباله های اتمی در زیرزمین، احداث سدها، کانال، مخازن، و ترانشه دارد و عموماً حاوی کانی مونتوریونیت است، استفاده شده است که می تواند اطلاعات ارزشمندی درباره رابطه خاک نرم و آلدگی آن با مشتقات نفتی در اختیار ما قرار می دهد.

۲. مصالح مصرفی
۲.۱. خاک مورد استفاده در پژوهش حاضر

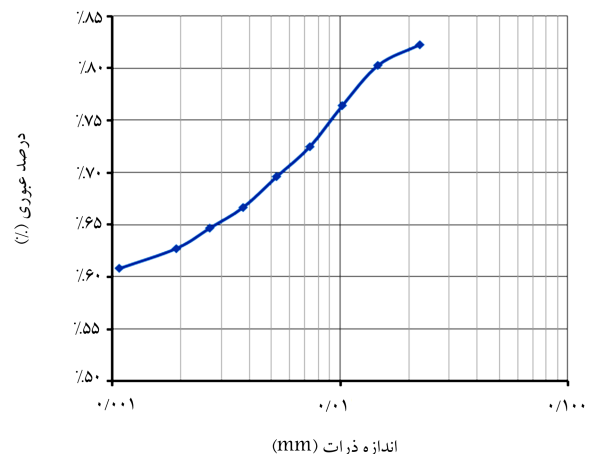
خاک رس بتونیتی از شرکت باریت سفارش داده شده که این خاک از معادن بزد، اصفهان و مشهد بدست می آید. نمودار دانه بندی (هیدرومتری) و چگالی مخصوص و مشخصات حالت خمیری در شکل ۱ ارائه شده است. طبق طبقه بندی متعدد، خاک مورد استفاده رس با حالت خمیری بالا (CH) است.

۲.۲. گازوئیل مورد استفاده در پژوهش حاضر

گازوئیل مورد استفاده در پژوهش حاضر از پالایشگاه نفت شیراز تهیه شده است که مشخصات آن در جدول ۲ ارائه شده است.

۳. نحوه آماده سازی نمونه

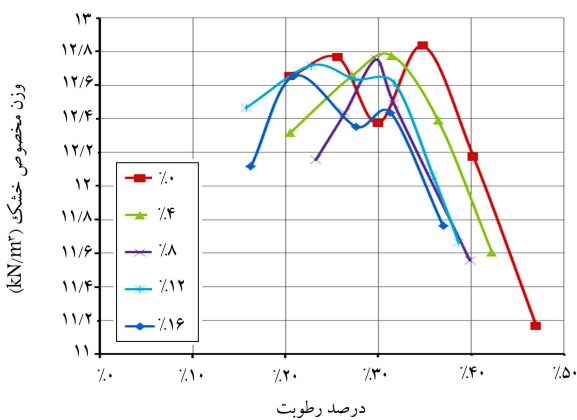
برای تهیه نمونه، ابتدا خاک موردنظر در گرم خانه به مدت ۲۴ ساعت خشک شده و سپس با توجه به وزن خشک خاک، درصد های مختلف گازوئیل ۱۶، ۱۲، ۸، ۴٪ به خاک اضافه و با هم مخلوط شده اند. برای عمل اوری خاک، دست کم یک هفته مخلوط به دست آمده در ظرف های سربسته نگهداری و سپس برای انجام آزمایش



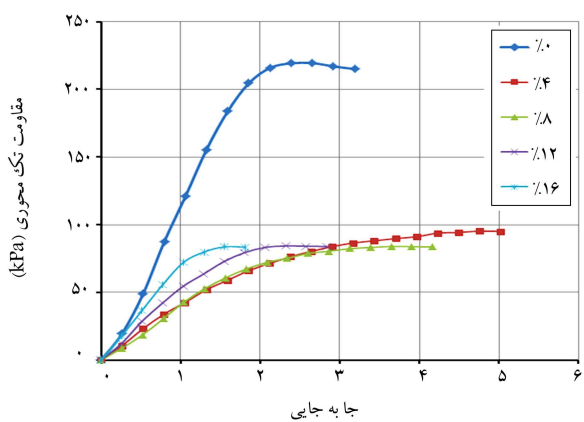
شکل ۱. نمودار دانه بندی.

جدول ۱. طبقه بندی خاک مورد مطالعه.

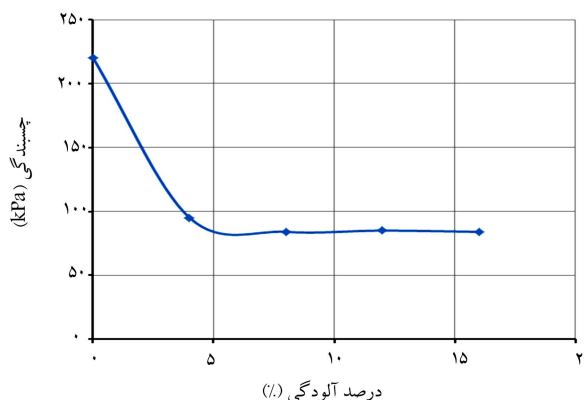
نوع خاک	PI	PL	LL	G _s
رس بتونیتی	۹۷	۴۱	۱۳۸	۲,۷۲



شکل ۳. تأثیر درصد های مختلف آبودگی در بیشینه هی چگالی خشک و رطوبت بهینه.



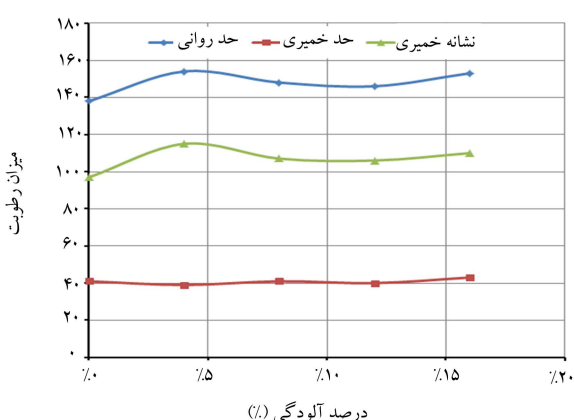
شکل ۴. تأثیر درصد های مختلف گازوئیل در مقاومت تک محوری.



شکل ۵. تأثیر درصد های مختلف گازوئیل در چسبندگی.

۳.۴. آزمایش مقاومت تک محوری (فشاری ساده) (ASTM D2166)

آزمایش تک محوری براساس استاندارد ASTM D2166 جهت تعیین مقاومت تک محوری خاک ها استفاده شده است که نتایج آن در شکل های ۴ و ۵ ارائه شده است. ملاحظه می شود که با اضافه شدن گازوئیل، مقاومت خاک به میزان چشمگیری کاهش پیدا کرده است، به گونه بی که مقاومت خاک با آبودگی ۱۶٪ و خاک بدون



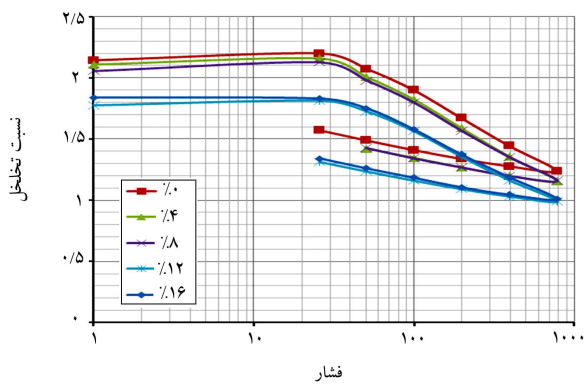
شکل ۲. تأثیر درصد های مختلف آبودگی در حدود اتربرگ.

خمیری کاهش می یابد.^[۶] در مورد یافته های خسروی و همکاران (۲۰۱۳) با افزایش آبودگی به میزان ۴٪، حد روانی افزایش یافته است که در این قسمت انطباق وجود دارد.^[۱۰] در ادامه نیز با افزایش آبودگی تا ۱۲٪، حد روانی افزایش یافته است؛ اما در ۱۶٪ آبودگی کاهش یافته است، که در این قسمت انطباق وجود ندارد. در حد خمیری نیز با اضافه شدن آبودگی تا ۴٪، حد خمیری کاهش یافته است که در این قسمت هر دو یافته یکسان هستند. در ادامه، حد خمیری با افزایش آبودگی تا ۱۲٪، کاهش و در آبودگی تا ۱۶٪، افزایش یافته است که در این قسمت فقط در آبودگی ۸٪ مغایرت وجود دارد.

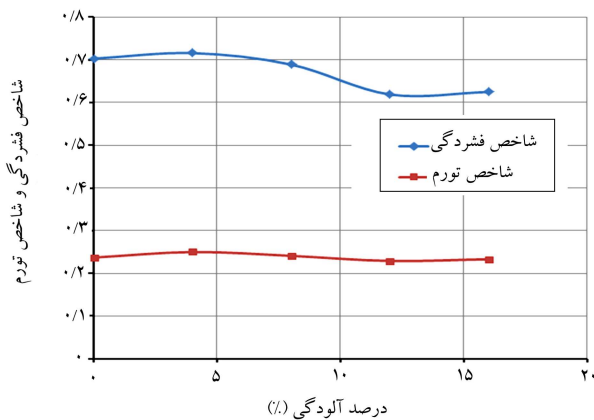
مطالعات لشکری پور و همکاران (۲۰۱۱) و خوش نشین لنگرودی و همکاران (۲۰۱۰)^[۱۱] با یافته های خامه چیان و همکاران (۲۰۰۷)^[۱۲] در حد روانی کاملاً مطابقت داشته اند، به گونه بی که با افزایش آبودگی حد روانی کاهش پیدا کرده است که یافته های مذکور با یافته های موجود فقط در آبودگی ۸٪ و ۱۲٪ انطباق دارد.^[۱۴، ۱۵] در حد خمیری یافته های لشکری پور و همکاران (۲۰۱۱)^[۱۶] با افزایش آبودگی حد خمیری کاهش یافته است، اما بر عکس در یافته های خوش نشین لنگرودی و همکاران (۲۰۱۰)^[۱۷] حد خمیری افزایش یافته است.

۴. آزمایش تراکم (ASTM D698)

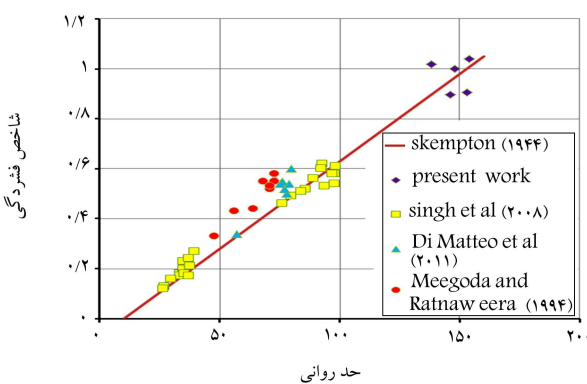
آزمایش تراکم بر روی نمونه های خاک که به صورت مصنوعی با گازوئیل ترکیب شده اند براساس استاندارد ASTM D698 انجام شده است. با توجه به شکل ۳ با افزایش درصد آبودگی، بیشینه وزن مخصوص خشک و رطوبت بهینه یافته است، که این به دلیل عدم تشکیل لایه دوگانه به دلیل غیر قطبی بودن گازوئیل و همچنین خاصیت روان کنندگی آن است. این نتایج با مطالعات میکودا و همکاران (۱۹۹۸) و ال سناد و همکاران (۱۹۹۵)^[۱۸] در مورد بیشینه وزن مخصوص خشک متفاوت است، به گونه بی که در مطالعات آنها با افزایش آبودگی، بیشینه وزن مخصوص خشک افزایش یافته است، اما در مورد کاهش رطوبت همانگی وجود دارد.^[۱۹] در یافته های خامه چیان و همکاران (۲۰۰۷)^[۲۰] و لشکری پور و همکاران (۲۰۱۱)^[۲۱] در مورد کاهش وزن مخصوص بیشینه و رطوبت بهینه با افزایش آبودگی با یافته های تحقیق حاضر انطباق کامل وجود دارد.^[۲۲] این همانگی در یافته های صدقیانی و جیریابی شراهی (۶۰)^[۲۳] به جز در آبودگی ۴٪ نیز مشاهده می شود، به صورتی که فقط در آبودگی ۴٪ بیشینه وزن مخصوص خشک افزایش و با افزایش آبودگی کاهش می یابد.^[۲۴]



شکل ۶. تغییرات نسبت تخلخل با فشار در درصدهای متفاوت گازوئیل.



شکل ۷. تأثیر درصدهای متفاوت گازوئیل در شاخص فشردگی و شاخص تورم.



شکل ۸. میزان شاخص فشردگی در برابر حد روانی توسط پژوهشگران مختلف در خاک‌های آلوده به هیدروکربن‌های نفتی.

۶. بررسی آمار استنباطی جهت تأیید اعتبار داده‌های پژوهش

به منظور تأیید اعتبار داده‌ها و بررسی این نکته که آیا اولاً بین متغیر وابسته و مستقل رابطه‌ای وجود دارد و ثانیاً متغیر مستقل تا چه اندازه می‌تواند در متغیر وابسته مؤثر باشد، از آزمون‌های استنباطی در نرم افزار SPSS استفاده شده است، آنچه در ادامه ارائه شده است، نتایج حاصل از آزمون‌های مختلفی همچون: آزمون همبستگی، تحلیل میانگین، و آزمون رگرسیون است.

آلودگی بیش از ۶۰٪ اختلاف دارد که بیشترین میزان کاهش در آلودگی به میزان ۵٪ است. در ادامه، با افزایش آلودگی، مقاومت خاک با شبیه سیار کاهش یافته است. به نظر میزان مقاومت خاک با درصد آلودگی رابطه‌ی معکوس دارد. دلیل این کاهش مقاومت عدم تشکیل لایه‌ی دوگانه و کاهش چسبندگی و تغییر رفتار خاک به سمت خاک‌های دانه‌ی است. مطابق شکل ۴، با اضافه شدن آلودگی اگرچه مقاومت کاهش یافته است، اما شکل پذیری افزایش یافته و در ادامه با افزایش آلودگی، شکل پذیری نیز کاهش یافته است. این نتایج با یافته‌های حد روانی نیز انتباطی دارد، به گونه‌ی که در آلودگی ۴٪ حد روانی افزایش یافته و در اینجا نیز شکل پذیری افزایش یافته است. یافته‌های به دست آمده از خامه‌چیان و همکاران [۲۰۰۷] در مورد چسبندگی با اطلاعات موجود کاملاً تطبیق دارد، به گونه‌ی که با افزایش آلودگی چسبندگی کاهش پیدا کرده است، البته این مطالعات با نتایج خسروی و همکاران [۲۰۱۳] کاملاً بر عکس بوده و با افزایش آلودگی چسبندگی افزایش یافته است، دلیل این تفاوت رفتار متفاوت رس مونتربولونیت با کائولینیت است. [۱۱]

۴. آزمایش تحکیم (ASTM D۲۴۳۵)

برای شناسایی فشردگی‌پذیری و تورم‌پذیری نمونه‌های خاک آلوده، آزمایش تحکیم یک بعدی استاندارد ASTM D۲۴۳۵ انجام شده است. همان‌گونه که در شکل‌های ۷ و ۶ ملاحظه می‌شود، با افزایش آلودگی تا ۴٪ شاخص فشردگی افزایش و پس از آن با افزایش آلودگی تا ۱۲٪ کاهش و مجدداً در آلودگی ۱۶٪ شاخص فشردگی افزایش یافته است. تغییرات شاخص تورم نیز به همین شکل اما به نسبت کمتر است. این یافته‌ها با اطلاعات به دست آمده از آزمایش حدود ابربرگ و تک محوری هم خوانی دارد.

با توجه به غیرقطبی بودن گازوئیل نسبت به آب، این موضوع باعث عدم ایجاد لایه‌ی دوگانه شده است و شاخص فشردگی افزایش یافته است. در ادامه، با توجه به تغییر حالت خاک به سمت ماسه به علت افزایش گازوئیل و از طرفی چون رس سیار آب دوست است و تمایل به جذب آب دارد و گازوئیل قبل از اضافه کردن آب به آن افزوده شده است، این موضوع باعث عدم تورم رس می‌شود، پس شاخص فشردگی آن کاهش پیدا می‌کند، در پایان نیز به علت وجود درصد بالای گازوئیل و به دلیل خاصیت روغن‌کاری آن، باعث لغزش راحت تر دانه‌های خاک شده و شاخص فشردگی افزایش یافته است. در مطالعات سینگ و همکاران [۲۰۰۸] و الستاند و همکاران [۱۹۹۵] با افزایش آلودگی، شاخص فشردگی افزایش یافته است، اما این یافته‌ها با تحقیقات خسروی و همکاران [۲۰۱۳] کاملاً در تضاد است؛ به گونه‌ی که با افزایش آلودگی، شاخص فشردگی کاهش یافته است. [۱۱،۱۲] نتایج پژوهش حاضر با یافته‌های سینگ و همکاران [۲۰۰۸] و الستاند و همکاران [۱۹۹۵] در آلودگی تا ۴٪ و با یافته‌های خسروی و همکاران [۲۰۱۳] در آلودگی تا ۸٪ و ۱۲٪ هم خوانی دارد (شکل ۷). [۱۱،۱۲].

۵. معادله جهت پیش‌بینی شاخص فشردگی

در پایان با توجه به اطلاعات به دست آمده از آزمایش‌های میکودا و راتناورا [۱۹۹۴]، سینگ و همکاران [۲۰۰۸]، ماتئو و همکاران [۲۰۱۱] و پژوهش حاضر، اقدام به دست آوردن معادله‌ی جهت پیش‌بینی شاخص فشردگی براساس حد روانی شده است (شکل ۸). [۹،۱۰] همان‌گونه که در شکل ۹ ملاحظه می‌شود، معادله‌ی خطی به دست آمده، ضریب رگرسیون ۰،۹۴۴ دارد.

جدول ۳. همبستگی داده‌ها.

CC	LL		
$-.894^{**}$.100	ضریب همبستگی	
.000		خطای معناداری دو دامنه	LL
45	45	تعداد داده‌ها (N)	
		ضریب همبستگی اسپیرمن *	
.000	.894**	ضریب همبستگی	
.000		خطای معناداری دو دامنه	CC
45	45	تعداد داده‌ها (N)	
*Spearman's rho		** Correlation Coefficient	*** sig.(2-tailed)

جدول ۴. خلاصه‌ی مدل رگرسیون.

مدل	ضریب رگرسیون	مجدور همبستگی	ضریب تعیین تغییر شده	(Std. Error of the Estimate)
	(R)	(R Square)	(Adjusted R Square)	
۱	.972a	.944	.943	.5646

a. LL: (Predictor) b. CC: (Dependent Variable) متغیر پیش‌بینی کننده

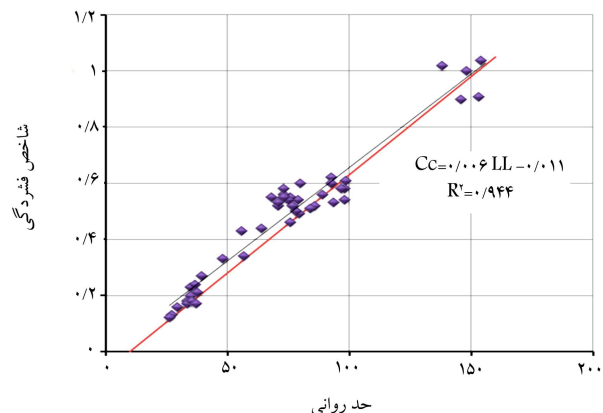
میزان از تغییرات متغیر وابسته به تغییرات متغیر مستقل باز می‌گردد. همان‌گونه که در جدول ۴ مشخص است، ضریب تأثیر متغیر وابسته در مستقل 0.972^a و ضریب تعیین نیز معادل 94% است. در واقع این یافته نشان می‌دهد که 94% از تغییرات متغیر وابسته به تغییرات متغیر مستقل باز می‌گردد.

۷. نتایج

۱. اضافه شدن گازوتیل به میزان 4% ، حد روانی را افزایش و افزایش آلودگی تا میزان 12% ، حد روانی را کاهش داده و در آخر با افزایش آلودگی تا 16% ، مجدداً حد روانی افزایش یافته است.
۲. حد خیری در خاک آلوده و غیرآلوده تقریباً ثابت است.

۳. میزان آلودگی با بیشینه‌ی وزن مخصوص خشک و رطوبت بهینه نسبت معکوس دارد، به‌گونه‌یی که با افزایش آلودگی، رطوبت بهینه و بیشینه‌ی وزن مخصوص خشک کاهش می‌یابد، که این به دلیل غیرقطبی بودن گازوتیل است.
۴. مقاومت تکمحوری و چسبندگی با درصد آلودگی نسبت معکوس دارد، به‌گونه‌یی که با افزایش آلودگی، میزان آن کاهش می‌یابد. بیشترین کاهش در آلودگی 4% به میزان 57% بوده است.

۵. با اضافه شدن گازوتیل به خاک به مقدار 4% ، شاخص فشردگی افزایش یافته است؛ اما در ادامه، با افزایش آلودگی تا 12% ، شاخص فشردگی کاهش و مجدداً با افزایش آلودگی به 16% ، شاخص فشردگی افزایش یافته است.



شکل ۹. معادله‌ی خطی ارائه شده جهت شاخص فشردگی.

۱.۶. آزمون همبستگی

با توجه به جدول ۳، همبستگی بین دو متغیر نزدیک به 90% است ($-.894^{**}$) و از طرفی درصد معناداری کمتر از 5% نیز این همبستگی را تأیید می‌کند.

۲.۶. آزمون رگرسیون خطی

در این بخش هدف آن بوده است که اثر متغیر مستقل در وابسته مشخص شود و همچنین میزان اعتیار این اثرگذاری تعیین شود و از سوی دیگر مشخص شود چه

منابع (References)

- Cook, E.E., Puri, V.K. and Shin, E.C. "Geotechnical characteristics of crude oil-contaminated sands", Inter-

national Society of Offshore and Polar Engineers, San Francisco, California, USA (14-19 June 1992).

- Puri, V.K. and Das, B.M., *Geotechnical Properties of Crude Oil Contaminated Sand*, In: O'Shay, T.A. and Hodinott, K.B. (Eds.), Analysis of Soils Contaminated with

- Petroleum Constituents, ASTM, Philadelphia, PA, pp. 75-88 (1994).
3. Meegoda, N.J. and Ratnaweera, P. "Compressibility of contaminated fine-grained soils", *Etch. Test. J.*, **17**(1), pp. 101-112 (1994).
 4. Al-Sanad, H., Eid, W. and Ismael, N. "Geotechnical properties of oil-contaminated kuwaiti sand", *Journal of Geotechnical Engineering*, **121**(5), pp. 407-412 (1995).
 5. Al-Sanad, H.A. and Ismael, N.F. "Aging effects on oil-contaminated kuwaiti sand", *Journal of Geotechnical and Geoenvironmental Engineering*, **123**(3), pp. 290-293 (1997).
 6. Khamehchiyan, M.A., Charkhabi, H. and Tajik, M. "Effects of crude oil contamination on geotechnical properties of clayey and sandy soils", *Engineering Geology*, **89**(3-4), pp. 220-229 (2007).
 7. Singh, S.K. and Srivastava, R.K. "Settlement characteristics of clayey soils contaminated with petroleum hydrocarbons", *Soil and Sediment Contamination: An International Journal*, **17**(3), pp. 290-300 (2008).
 8. Skempton, A.W. and Jones, O.T. "Notes on the compressibility of clays", *J. Geol. Soc.*, **100**, pp. 119-135 (1944).
 9. Di Matteo, L. and Bigotti, F. "Compressibility of kaolinitic clay contaminated by ethanol-gasoline blends", *Journal of Geotechnical and Geoenvironmental Engineering*, **137**(9), pp. 846-849 (2010).
 10. Kermani, M. and Ebadi, T. "The effect of oil contamination on the geotechnical properties of fine-grained soils", *Soil and Sediment Contamination: An International Journal*, **21**(5), pp. 655-671 (2012).
 11. Khosravi, E. and Ghasemzadeh, H. "Geotechnical properties of gas oil-contaminated kaolinite", *Engineering Geology*, **166**(0), pp. 11-16 (2013).
 12. Nasr, A. "Uplift behavior of vertical piles embedded in oil-contaminated sand", *Journal of Geotechnical and Geoenvironmental Engineering*, **139**(1), pp. 162-174 (2013).
 13. Lashkaripoor, G., Rajaei, F. and Ghafoori, M. "Impact oil pollution on the mechanical properties of sand, silt and clay", *4th National Conference of Geology PNU* (2011).
 14. Khoshneshin Langroodi, M., Yasrebi, S. and Mohamadie akbarabadi, M. "Effect of oil pollution parameters resistance of clay soil", *5th National Congress of Civil Engineering* (2010).
 15. Sedghyani, M. and Jiriae, Sharahi, M. "Effect of oil pollution on strength parameters, settlement and compressibility of sand", *1st National Congress of Civil Engineering* (2004).